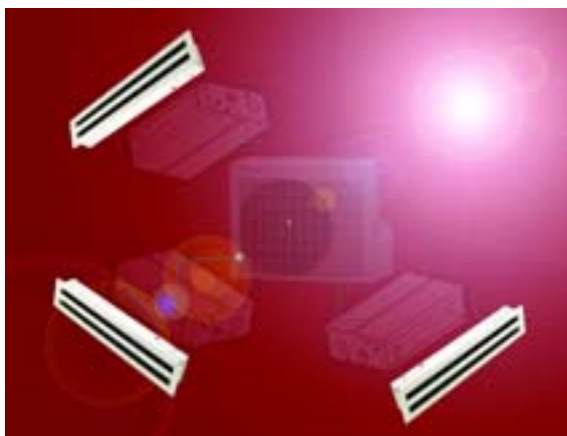


Уважаемые господа!

ООО «Закрытые Системы» работает на рынке вентиляции и кондиционирования как инжиниринговая компания. В настоящее время мы рады представить Вам новое направление своей деятельности — производство линейных щелевых диффузоров.



Производственная база расположена в Москве и представлена современными итальянскими технологическими линиями, позволяющими организовать выпуск «щелевиков» самых различных типоразмеров и конфигураций: прямых, угловых, изогнутых. Щелевые диффузоры оборудованы неподвижными горизонтальными жалюзи и подвижными

ламелями для изменения направления потока, а также клапаном расхода воздуха.

Несомненное преимущество щелевых диффузоров — высокое качество и внешний вид, позволяющий гармонично вписаться в любой, даже самый изысканный дизайн интерьера. Необходимый цвет можно выбрать из 210-цветной палитры RAL.

Изготовление любых нестандартных типоразмеров возможно в самые короткие сроки — до 10 дней.

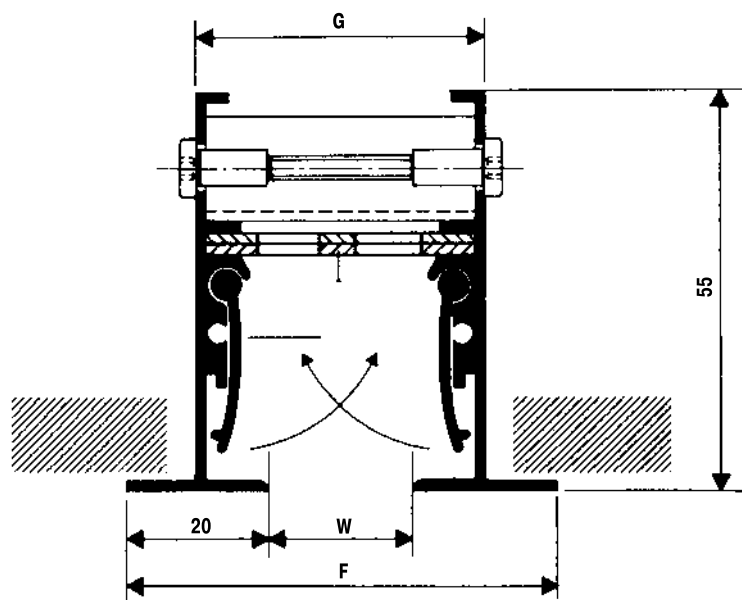
Представляем Вам каталог нашей новой продукции и надеемся, что оценив соотношение их качества и цены, Вы остановите свой выбор именно на этих линейных щелевых диффузорах.



СЕРИЯ BVS

Получить более подробную информацию и посмотреть фотографии можно на сайте ООО «ЗАКРЫТЫЕ СИСТЕМЫ» www.zsystems.ru или непосредственно у сотрудников компании по телефонам: (495) 917-06-74, 917-09-66, 917-12-58.

Линейные щелевые диффузоры



BVS

W: 12,5 / 20 / 25 мм

Линейные щелевые диффузоры разработаны так, чтобы гармонично вписываться в потолки помещений современного вида.

Длина изготавливаемых диффузоров – до 2500 мм.

Для более длинных используется соединительный выравнивающий профиль

СЕРИЯ BVS

Профиль типа BVS: шириной 20 мм

щель 12,5 мм

щель 20 мм

щель 25 мм

П Р И М Е Р З А К А З А

A BVS W Z D T C L

УСЛОВНЫЕ ОБОЗНАЧЕНИЯ

- A** – количество щелей;
- BVS** – тип профиля;
- W** – ширина щели;
- Z** – заслонка на салазках (отсутствие – символ O);
- D** – диффлекторы (отсутствие – символ O);
- T** – торцевые профили (отсутствие – символ O);
- C** – стандартный тип крепления (отсутствие – символ O);
- L** – длина в мм.

| BVS 12,5 | | W = 12,5 мм | |
|------------------|-----|-------------|--|
| Количество щелей | G | F | |
| 1 | 33 | 52 | |
| 2 | 63 | 83 | |
| 3 | 94 | 114 | |
| 4 | 125 | 145 | |
| 5 | 156 | 176 | |
| 6 | 187 | 207 | |

| BVS 20 | | W = 20 мм | |
|------------------|-----|-----------|--|
| Количество щелей | G | F | |
| 1 | 40 | 60 | |
| 2 | 78 | 98 | |
| 3 | 117 | 137 | |
| 4 | 155 | 175 | |
| 5 | 193 | 214 | |
| 6 | 232 | 252 | |

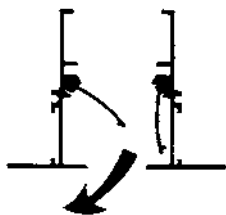
| BVS 25 | | W = 25 мм | |
|------------------|-----|-----------|--|
| Количество щелей | G | F | |
| 1 | 45 | 65 | |
| 2 | 88 | 108 | |
| 3 | 132 | 152 | |
| 4 | 175 | 196 | |
| 5 | 218 | 239 | |
| 6 | 262 | 282 | |

2006

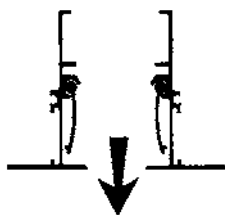
Типы регулировки дефлекторов

Направление выброса для одной или нескольких щелей

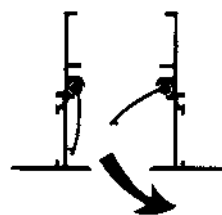
Каждый щелевой диффузор снабжен 2 дефлекторами, дающими возможность регулировать направление потока на 180°



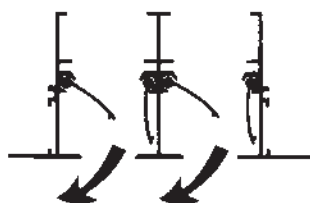
Горизонтальное левое



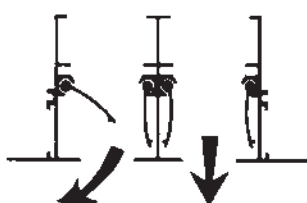
Вертикальное



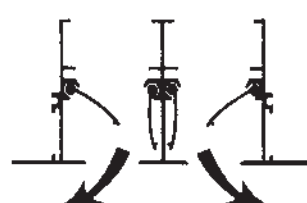
Горизонтальное правое



Горизонтальное левое



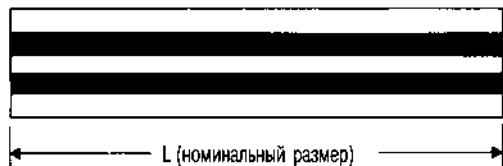
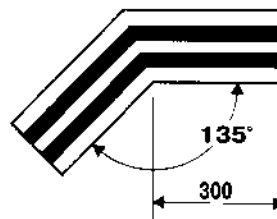
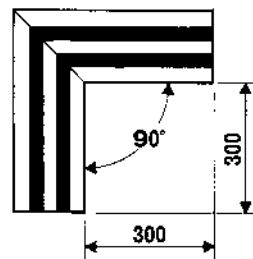
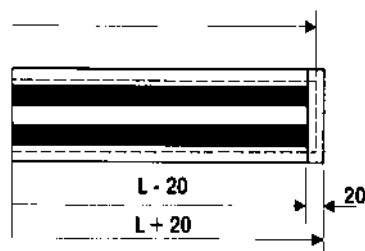
Вертикальное и горизонтальное левое



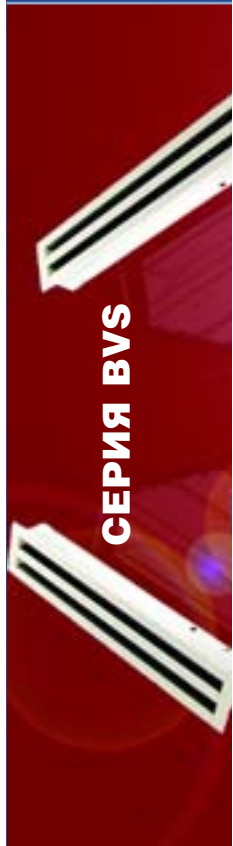
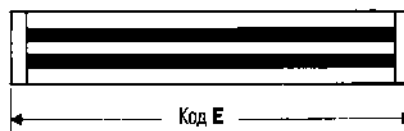
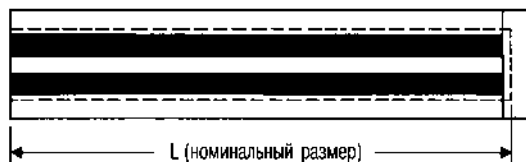
Горизонтальное левое и правое

Сборка

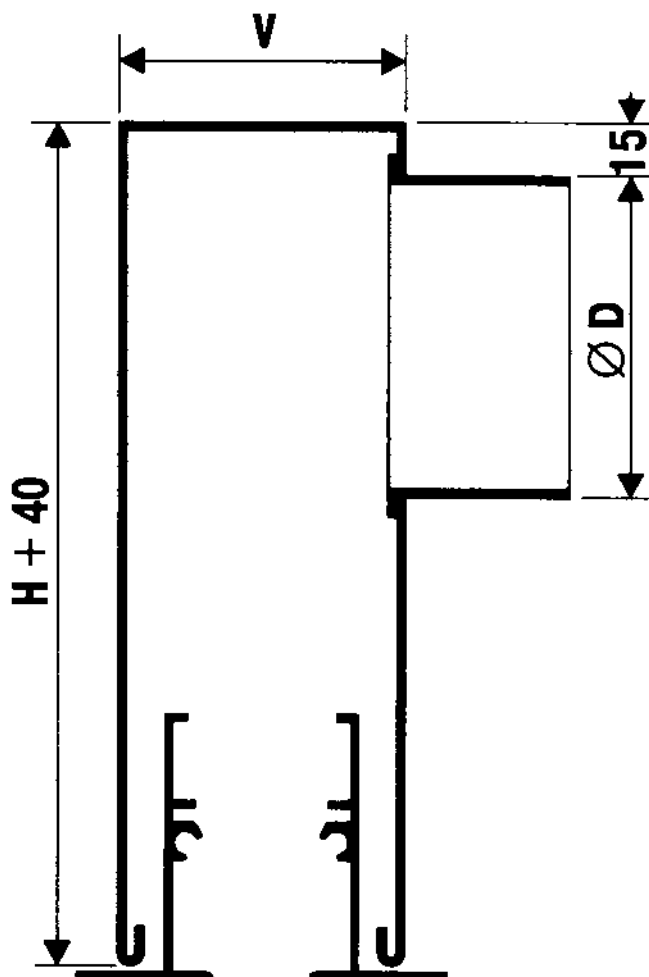
Профиль типа BVS. Угол может быть от 180° до 90°



Щелевые диффузоры без торцевой детали



Соединительная коробка (пленумы)



Короб для систем крепления С

| BVS 12,5 | | | |
|----------|-----|-----|-----|
| Щель(и) | H | D | V |
| 1 | 250 | 123 | 43 |
| 2 | 250 | 158 | 73 |
| 3 | 300 | 198 | 104 |
| 4 | 300 | 198 | 135 |
| 5 | 300 | 198 | 166 |
| 6 | 300 | 248 | 197 |
| 7 | 300 | 248 | 228 |
| 8 | 300 | 248 | 252 |

| BVS 20 | | | |
|---------|-----|-----|-----|
| Щель(и) | H | D | V |
| 1 | 250 | 123 | 50 |
| 2 | 250 | 158 | 88 |
| 3 | 300 | 198 | 127 |
| 4 | 300 | 248 | 165 |
| 5 | 300 | 248 | 203 |
| 6 | 300 | 248 | 242 |
| 7 | 365 | 313 | 288 |
| 8 | 365 | 313 | 318 |

| BVS 25 | | | |
|---------|-----|-----|-----|
| Щель(и) | H | D | V |
| 1 | 250 | 158 | 55 |
| 2 | 250 | 198 | 98 |
| 3 | 300 | 198 | 142 |
| 4 | 300 | 248 | 185 |
| 5 | 300 | 248 | 228 |
| 6 | 365 | 313 | 272 |
| 7 | 365 | 313 | 315 |
| 8 | 365 | 313 | 358 |

Общие технические данные

Индукция

Символы

| | | |
|--------------|--|---|
| V_k | скорость наддува | м/с |
| V_t | конечная скорость на дальнем конце потока | м/с |
| q_1 | первичный расход воздуха | м ³ /ч или м ³ /с |
| q_2 | расход вовлеченного воздуха в помещении | м ³ /ч или м ³ /с |
| Q_L | общий расход движущегося воздуха в конце потока | м ³ /ч или м ³ /с |
| i | степень индукции | |
| t | температура первичного воздуха | °С |
| t_a | температура воздуха среды помещения | °С |
| t_L | температура воздуха на оси струи на конце потока | °С |
| Δt_1 | разность температур на подаче | К |
| Δt_L | разность температур в конце потока | К |
| A, (At) | отношение величин At | |

$$i = \frac{Q_L}{q_1}$$

$$\lambda(\Delta t) = \frac{\Delta t_L}{\Delta t_1}$$

$$q = q_1 + q_2$$

$$t_L = t_a + \Delta t_2 \cdot \lambda(\Delta t)$$

$$\Delta t_L = t_L - t_a$$

Дросселирование заслонок

Символы

ΔP_1 Общая потеря давления при открытой заслонке (величины – в номограмме выбора)
Па или мм вод.ст

ΔP_2 Общая потеря давления при дросселированной заслонке Па или мм вод.ст

$\frac{\Delta P_2}{\Delta P_1}$ Отношение величин общих потерь давления

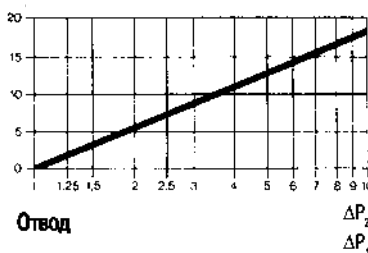
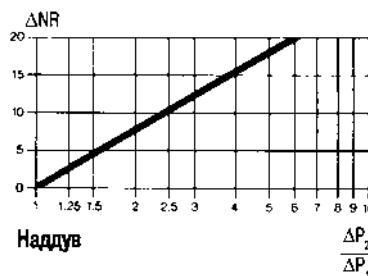
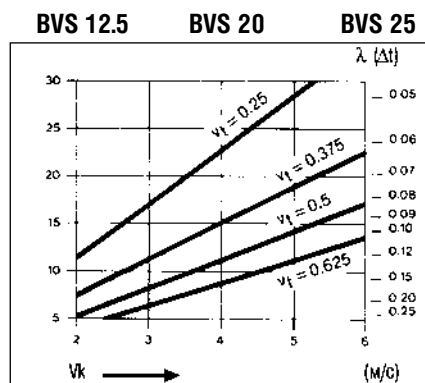
NR_1 Уровень шума при открытой заслонке (величины – в номограмме выбора)

NR_2 Уровень шума при дросселированной заслонке

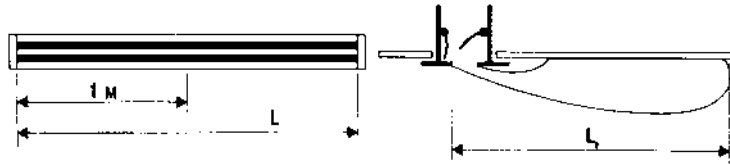
ΔNR Увеличение уровня шума

Формула

$$NR_2 = NR_1 + \Delta NR$$



Приточные диффузоры со щелями 12,5 мм



Измерение расхода

$$V_k \times A_k = \text{м}^3/\text{сек}$$

$$V_k \times A_k \times 3600 = \text{м}^3/\text{сек}$$

Скорость притока (V_k)

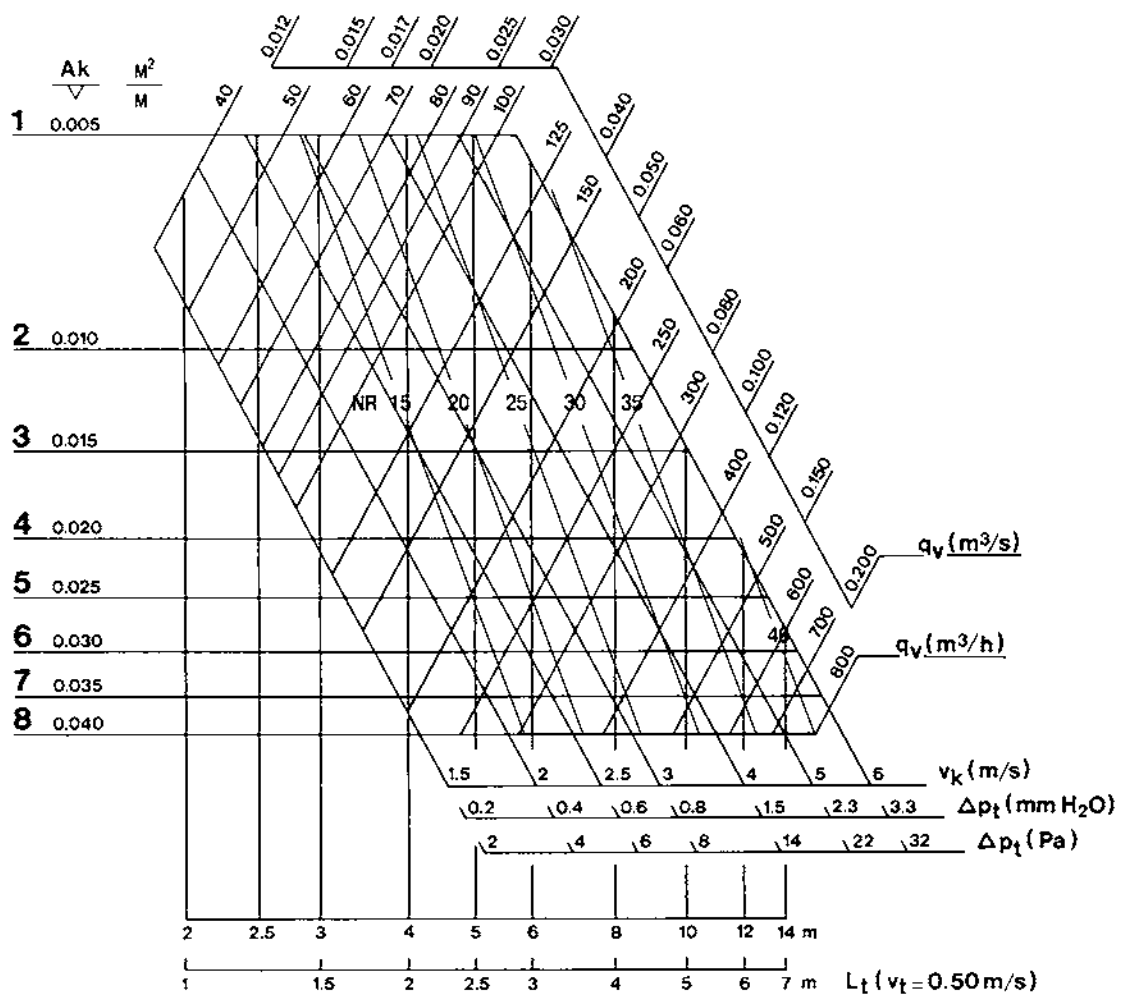
и величина A_k (м^2) были

измерены с помощью трубки Пито.



Номограмма выбора

Данные на 1 метр длины



Поправки для диффузоров без воздухоотборных камер

| | |
|--------------|------|
| ΔP_t | x0,6 |
| NR | -5 |

Поправки для других длин

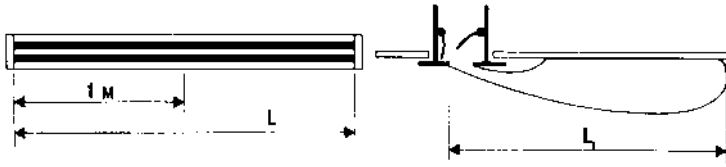
| | | | | | | | | | | |
|-------|----|-------|----|-----|----|----|----|----|-------|-----|
| L (м) | 1 | 1,5 | 2 | 2,5 | 3 | 4 | 5 | 6 | 8 | 10 |
| L (м) | x1 | x1,05 | | | x1 | | | | x1,15 | |
| NR | 0 | +2 | +3 | +4 | +5 | +6 | +7 | +8 | +9 | +10 |

Величины NR не учитывают поглощения в помещении.

Поправки для других V_t

| | | | | |
|---------------|------|-------|-----|-------|
| V_t (м/сек) | 0,25 | 0,375 | 0,5 | 0,625 |
| L x | 1 | 0,67 | 0,5 | 0,4 |

Приточные диффузоры со щелями 20 мм



Измерение расхода

$V_k \times A_k = \text{м}^3/\text{сек}$

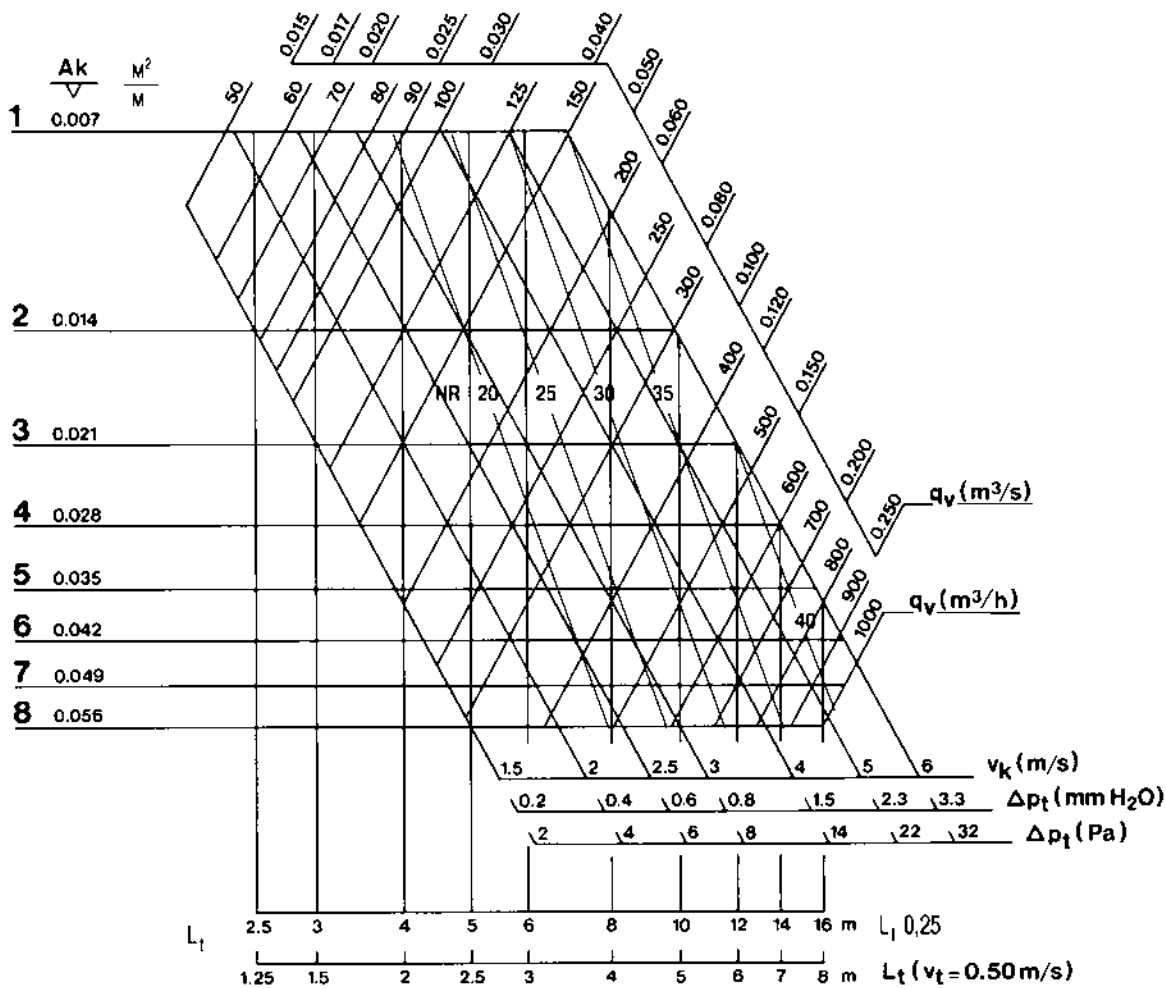
$V_k \times A_k \times 3600 = \text{м}^3/\text{сек}$

Скорость притока (V_k)
и величина A_k (м^2) были
измерены с помощью трубки Пито.



Номограмма выбора

Данные на 1 метр длины



Поправки для диффузоров без воздухосорбных камер

| | |
|--------------|------|
| ΔP_t | x0,6 |
| NR | -5 |

Поправки для других длин

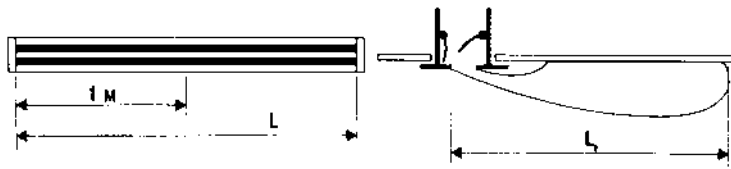
| | | | | | | | | | | |
|-------|----|-------|----|-----|----|----|----|-------|----|-----|
| L (м) | 1 | 1,5 | 2 | 2,5 | 3 | 4 | 5 | 6 | 8 | 10 |
| L (м) | x1 | x1,05 | | | x1 | | | x1,15 | | |
| NR | 0 | +2 | +3 | +4 | +5 | +6 | +7 | +8 | +9 | +10 |

Величины NR не учитывают поглощения в помещении.

Поправки для других V_t

| | | | | |
|---------------|------|-------|-----|-------|
| V_t (м/сек) | 0,25 | 0,375 | 0,5 | 0,625 |
| L x | 1 | 0,67 | 0,5 | 0,4 |

Приточные диффузоры со щелями 25 мм



Измерение расхода

$$V_k \times A_k = \text{м}^3/\text{сек}$$

$$V_k \times A_k \times 3600 = \text{м}^3/\text{сек}$$

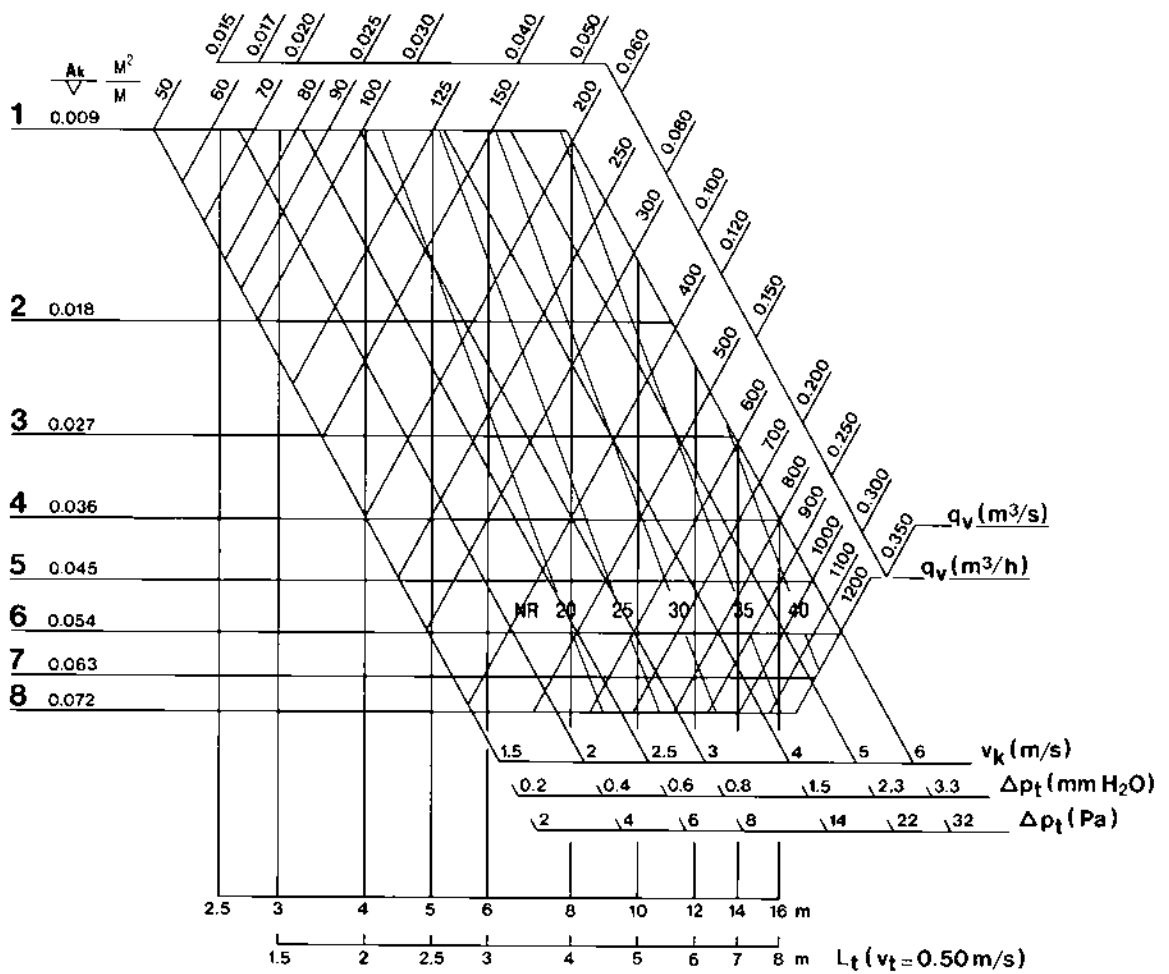
Скорость притока (V_k)
и величина A_k (м^2) были

измерены с помощью трубки Пито.



Номограмма выбора

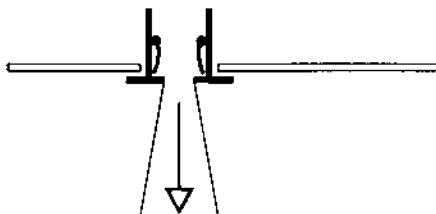
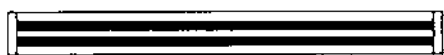
Данные на 1 метр длины



Поправки для диффузоров без воздухосорных камер

| | |
|--------------|--------------|
| ΔP_t | $\times 0,6$ |
| NR | -5 |

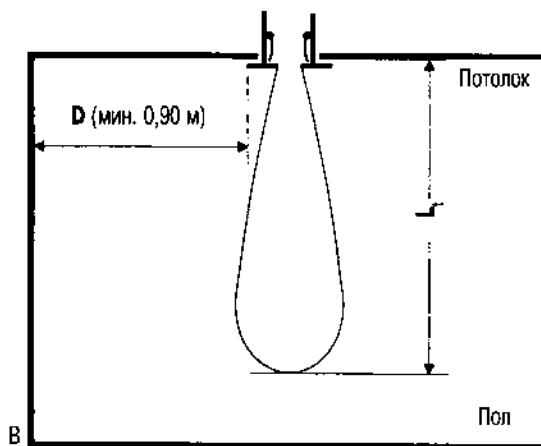
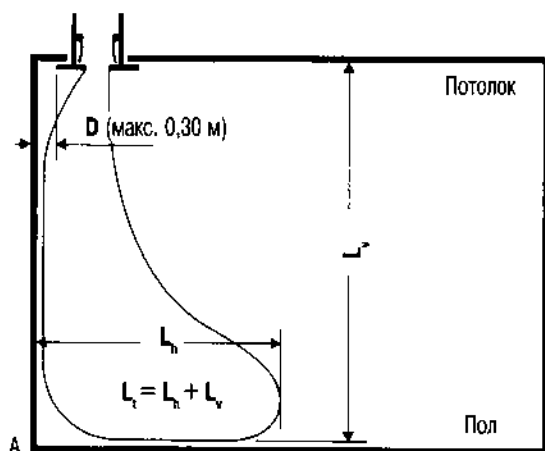
Приточные щелевые диффузоры
BVS 12,5 mm; BVS 20 mm; BVS 25 mm



Вертикальный приток

С эффектом влияния стенки

Без эффекта влияния стенки



Поправки для других величин

| | | | | |
|--------|---|-------|-------|------|
| AT (k) | | -10 | 0 | +15 |
| L | A | x0,8 | x0,5 | x0,3 |
| | B | x0,55 | x0,35 | x0,2 |

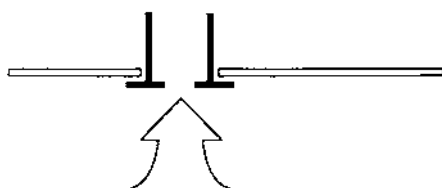
| | |
|------------------------|-------|
| V _k (м/сек) | x0,45 |
| ΔP _t | x0,8 |
| NR | -3 |

Величины A (мм)

| Щель(-и) | 1 | 2 | 3 | 4 | 5 | 6 | 7 | 8 |
|----------|-------|-------|-------|-------|-------|-------|-------|-------|
| BVS 12,5 | 0,011 | 0,022 | 0,033 | 0,044 | 0,055 | 0,066 | 0,077 | 0,088 |
| BVS 20 | 0,016 | 0,032 | 0,048 | 0,064 | 0,080 | 0,096 | 0,12 | 0,128 |
| BVS 25 | 0,021 | 0,042 | 0,063 | 0,084 | 0,105 | 0,126 | 0,163 | 0,168 |

Величины NR не учитывают поглощения в помещении.

Отвод воздуха

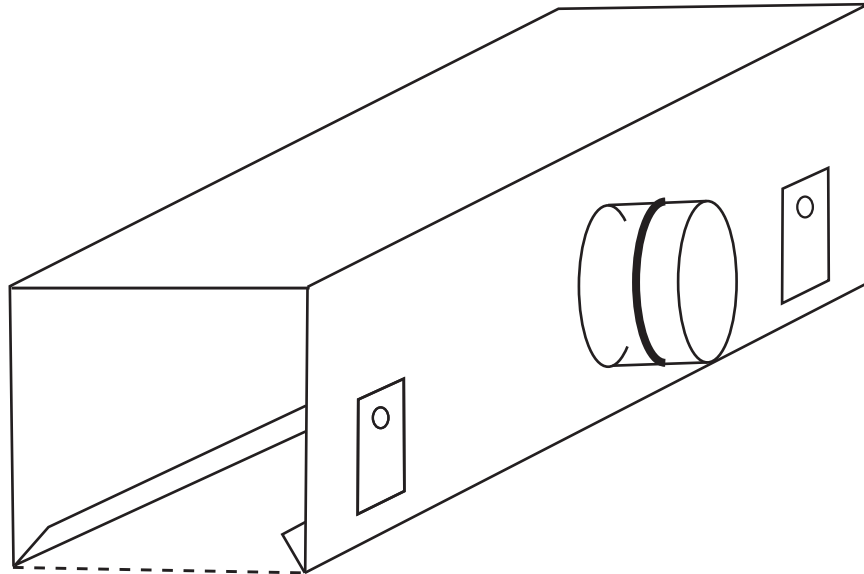
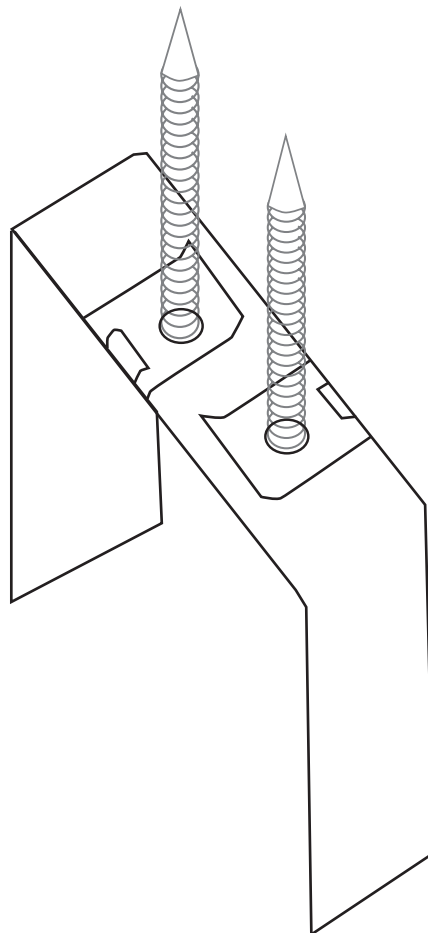


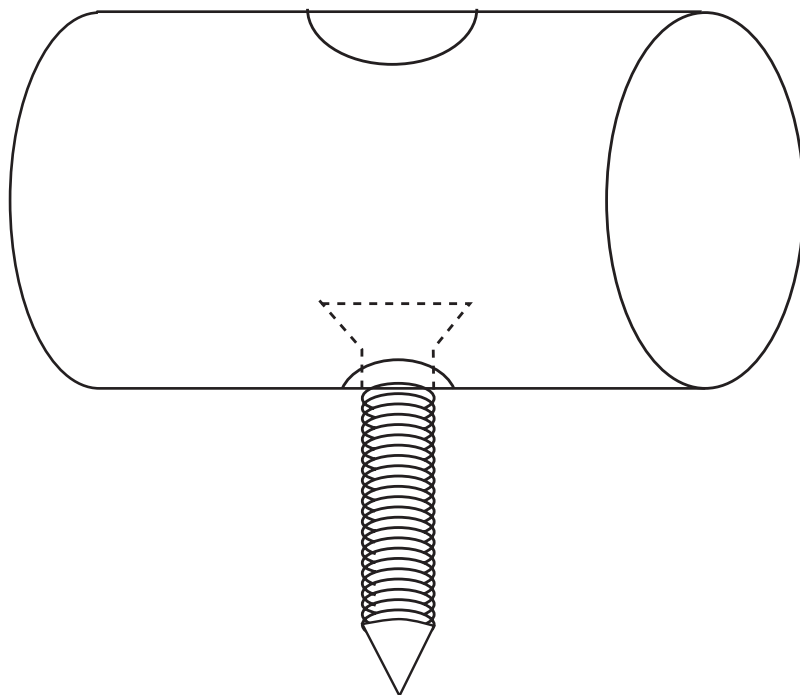
Величины A_k

См. таблицу выше
в разделе
«вертикальный
приток»

Поправки для других величин

| | |
|------------------------|-------|
| V _k (м/сек) | x0,45 |
| ΔP _t | x0,8 |
| NR | -3 |

Адаптер для решеток*Крепежная пластина*



СЕРИЯ BVS

2006